

Renormalization (Group) and Effective Theory

Plan

1. Basics of Quantum Field Theory
2. Renormalization
3. Renormalization Group
4. Wilsonian Renormalization Group
5. Effective Field Theory

References

Any Quantum Field Theory text

Basics of Quantum Field Theory

Classical mechanics

$$S = \int dt L \quad : \text{action}$$

$$L = T - V \quad : \text{Lagrangian}$$

↑ ↓
 kinetic potential
 energy energy

- Actional principle (least) action principle of eqn
equation of motion is $\frac{d}{dt} \frac{\partial L}{\partial \dot{q}_i} = 0$

$$\delta S = 0 \Rightarrow \frac{d}{dt} \left(\frac{\partial L}{\partial \dot{q}_i} \right) - \frac{\partial L}{\partial q_i} = 0$$

$$p = \frac{\partial L}{\partial \dot{q}_i} : \text{conjugate momenta of } q_i$$

$$\{q_i, p_j\}_{PB} = 1$$

- observables in CM

$$q_i(t), p_i(t) \quad \leftarrow \text{이들을 구하는 } \rightarrow \text{CM} \text{의 } q_i, p_i \text{를 찾는다}$$

Example

Harmonic oscillator

$$L = \frac{1}{2} m \dot{q}^2 - \frac{1}{2} m \omega^2 q^2 \Rightarrow \ddot{q} + \omega^2 q = 0$$

Quantum Mechanics

$q, p \rightarrow$ operators in a Hilbert space

$$[q_i, p_j] = i \hbar \delta_{ij}, (i, j = 1)$$

Physical states $|\psi\rangle$ satisfy Schrödinger eq.

$$|\psi(t)\rangle = e^{-iHt} |\psi(0)\rangle$$

i.e.

$$\langle q_1 | \psi(t) \rangle = \underbrace{\int \langle q_1 | e^{-iHt} | q' \rangle}_{\uparrow} \langle q' | \psi(0) \rangle dq'$$

"transformation function"

"evolution kernel"

transformation func \rightarrow 7.2.2 QM \rightarrow 2.4.2 2.4

- Path integral representation

$$\langle q_2 | e^{-iHt} | q_1 \rangle = \int [Dq] [Dp] e^{i \int_0^t dt L}$$

$$L = p \dot{q} - H(q, p)$$

Classical Field Theory

(e.g. Classical electrodynamics)

degree of freedom $\rightarrow \infty$

$$q_i(t) \quad i = 1, 2, 3, \dots$$

e.g. Harmonic oscillators at position \vec{x}_i $q_i(t)$: amplitude of i -th oscillator at \vec{x}_i

change of notation

$$q(i, t)$$



$$q(\vec{x}, t)$$

{ continuum limit }

$$q(\vec{x}, t) \quad \text{or} \quad \phi(\vec{x}, t)$$

satisfies e.g. wave equation

time t & space \vec{x} are parameters

7.2.2 2.4

Action

$$S = \int dt L$$

Lagrangian

$$L = T - U$$

$$T = \sum_i \frac{1}{2} m \dot{q}_i^2 \rightarrow \frac{1}{2} \int dx \left[\frac{\partial}{\partial t} \phi(\vec{x}, t) \right]^2$$

$$U = U(q_1, q_2, \dots) \rightarrow \frac{1}{2} \int dx \left[\left(\frac{\partial}{\partial x} \phi \right)^2 + V(\phi) \right]$$

nearest neighbor
interaction

local interaction

ordinary
Coulomb interaction
is not local

$$\Rightarrow L = \int dx L$$

~ Lagrangian density.

conjugate momenta

$$\Pi(\vec{x}, t) = \frac{\partial L}{\partial \dot{\phi}(\vec{x}, t)}$$

$$\{\phi(\vec{x}, t), \Pi(\vec{x}, t)\}_{PB} = \delta(\vec{x} - \vec{x}')$$

Quantum Field Theory

[여기서는 scalar field theory]

 $\phi \rightarrow$ operator

$$[\phi(\vec{x}, t), \Pi(\vec{x}', t)] = i \delta(\vec{x} - \vec{x}')$$

Transformation function

$$x = (t, \vec{x})$$

$$\langle \phi(\vec{x}) | e^{-iHt} | \phi(\vec{x}) \rangle$$

이보다 더 나은거는 뭐인가? Green fn

$$G_N(x_1, x_2, \dots, x_N) = \langle 0 | T \phi(x_1) \dots \phi(x_N) | 0 \rangle$$

"time ordered product"

$$T \phi(x) \phi(y) = \begin{cases} \phi(x) \phi(y) & x < y \\ \phi(y) \phi(x) & x > y \end{cases}$$

Note

1. $\phi(r)$: not a well-defined operator
but an operator-valued distribution

$\phi(x)$ 는 어떤 한 점에서 측정되는 데는 되고 3차원의 space-time
region에서 평균을 냄 때면이 유효가능하다. e.g.

$$\phi_f = \int \phi(x) f(x) d^4x, \quad f(r) : \text{any complex-valued operator}$$

is an operator

그러나 $[\delta(x)]^2$ 라고 distribution의 같은 점 평균은 되지

않기 때문에 같은 순간 field ϕ 는 그저 하나의 측정값이
다른으로 빠트. \Rightarrow renormalization.

2. Green fm은 다른 예제 "3.1.4"

$$\partial_y^2 G_2(y, x) + \langle 0 | T V'(\phi(y)) \phi(x) | 0 \rangle = -i \delta^4(x-y)$$

$$\partial_y^2 G_{N+1}(y, x_1, \dots, x_N) + \langle 0 | T V'(\phi(y)) \phi(x_1) \dots \phi(x_N) | 0 \rangle$$

$$= -i \sum_{j=1}^N \delta(y-x_j) G_{N-1}(x_1, \dots, x_{j-1}, x_{j+1}, \dots, x_N)$$

Green fm은 주제에 대한 이해를 위한 예제로 여기에는 생략된다.

Path-integral representation

$$G_N(x_1, \dots, x_N) = N \int [D\phi] \phi(x_1) \dots \phi(x_N) e^{iS[\phi]}$$

$$N = \left[\int [D\phi] e^{iS[\phi]} \right]^{-1} \text{ so that } \langle \phi \phi \rangle = 1$$

Note) path integral 모드는 sequence time-ordered products이다

• Equivalently, define

$$Z[J] = N \int [D\phi] e^{i \int d^4x J(x) \phi(x)}$$

: generating functional of Green functions

$J(x)$: arbitrary function

$$\Rightarrow \langle 0 | T\phi(x)\phi(y) | 0 \rangle = \frac{1}{Z[0]} \frac{1}{i} \frac{\delta}{\delta J(x)} \frac{1}{i} \frac{\delta}{\delta J(y)} Z[J] \Big|_{J=0}$$

etc.

• Path integral $\int e^{is \dots} \rightarrow$ oscillating integral

More satisfactory definition is

(i) 'Wick-rotate' time to imaginary value $t = -it$
 \Rightarrow Euclidean space

$$is \rightarrow -S_E = - \int dxd^3x \left[\frac{1}{2} (\partial_i \phi)^2 + V \right]$$

S_E : positive definite \Rightarrow better convergence

(ii) Space-time \rightarrow lattice e.g. with spacing a

Volume of Vol 1/2 a^4 $\forall i \quad |t_i| \leq \frac{T}{2} \leq \pi/a$

$\Rightarrow \int [D\phi] \phi(x_1) \dots \phi(x_n) e^{-S_E[\phi]} : \text{absolutely convergent ordinary integral over finite # of variables}$

(iii) Take $\begin{cases} \text{continuum limit } a \rightarrow 0 \\ \text{infinite vol. limit } V \rightarrow \infty \\ \text{infinite time limit } T \rightarrow \infty \end{cases} \Rightarrow \exists \text{ difficulties}$

(iv) Analytically continue back to Minkowski space-time.

Step (ii) $\eta(\phi)$

- $T \rightarrow 0, V \rightarrow \infty$ ("Thermodynamic limit") \Rightarrow divergence appears

 ϕ^+ -theory

$$S[\phi] = \frac{1}{g} \int \left[\frac{1}{2} (\partial\phi)^2 - \frac{m^2}{2} \phi^2 - \frac{1}{4!} \phi^4 \right], \quad \hat{\phi} = \sqrt{g} \phi$$

$$\Rightarrow \int [d\phi] e^{-S_E[\phi]} \propto \int [\hat{d}\hat{\phi}] e^{-\frac{1}{g} S_E[\phi \rightarrow \hat{\phi}, g \rightarrow 1]}$$

: temperature $\rightarrow \frac{1}{g} \rightarrow$ classical
System's partition fn.

: "identity est. Euclidean field theory and
certain classical Stat. mech."

(continuum limit)
in field theory = (particular type of
2nd order phase transition)

divergence like $e^{-E_0 VT}$
 \downarrow
Cancelled by N

E_0 : ground state energy
density

- Remaining div. : $a \rightarrow 0$ or $2\pi/3 \approx 2$ (UV div.)
 \Rightarrow Renormalization

○ Free Scalar theory

$$\mathcal{L} = \frac{1}{2} (\partial\phi)^2 - \frac{1}{2} m^2 \phi^2 \quad (+ - - - -)$$

: collection of infinite # of harmonic osc.

eq. of motion : $(\partial^2 + m^2)\phi = 0$; Klein-Gordon eq.

$$\Pi = \frac{\partial \mathcal{L}}{\partial \dot{\phi}} = \dot{\phi} \quad ; \text{conjugate momentum}$$

$$[\phi(x, t), \Pi(y, z)] = i\delta(x-y)$$

Generating functional

$$Z[J] = \int [D\phi] e^{iS + i\int J\phi}$$

$$S + \int J\phi = -\frac{1}{2} \int \phi (\partial^2 + m^2) \phi + J\phi$$

$$= -\frac{1}{2} \left[[\phi - J(\partial^2 + m^2)^{-1}] (\partial^2 + m^2) [\phi - (\partial^2 + m^2)^{-1}] \right]$$

$$+ \frac{i}{2} \int J(\partial^2 + m^2)^{-1} J$$

$$Z[J] = \int D\phi e^{-\frac{i}{2} \int [\phi - J(\partial^2 + m^2)^{-1}] (\partial^2 + m^2) [\phi - (\partial^2 + m^2)^{-1}] + \frac{i}{2} \int J(\partial^2 + m^2)^{-1} J}$$

$$\phi - J(\partial^2 + m^2)^{-1} = \tilde{\phi} \quad : \text{Integration variable}$$

$$= \underbrace{(\text{const})}_{\frac{1}{4}} e^{-\frac{1}{2} \int J D\tilde{\phi}}$$

$$+ i(\partial^2 + m^2) D\tilde{\phi} = 1$$

$$\text{i.e., } (\partial_x^2 + m^2) D(x-y) = -i\delta(x-y)$$

In mom. space

$$D(x-y) = i \int \frac{e^{-ik(x-y)}}{k^2 - m^2} \frac{d^4 k}{(2\pi)^4} : \text{has ambiguity at } k^2 = m^2$$

Feynman b.c. $m^2 \rightarrow m^2 - i\epsilon$: corr. to multiplying convergence factor

$$e^{-\frac{1}{2} \epsilon \frac{k^2}{m^2}}$$

Then

$$D_F(x-y) = i \int \frac{d^4 k}{(2\pi)^4} \frac{e^{ik(x-y)}}{k^2 - m^2 + i\epsilon} \quad (\text{consistent with Wick notation})$$

$$\text{"Feynman"} = -\frac{\delta}{\delta J(x)} \frac{\delta}{\delta J(y)} Z \Big|_{J=0} = \langle 0 | T \phi(x) \phi(y) | 0 \rangle$$

Problems

1. Consider the real free scalar theory

$$\mathcal{L} = \frac{1}{2}(\partial\phi)^2 - \frac{1}{2}m^2\phi^2$$

Show that it consists of infinite number of independent harmonic oscillators. Calculate the vacuum energy.

Discuss the nature of the particle of this theory.

2. From the path integral expression of Green func., derive the equations of Green func. e.g.

$$\partial_y^2 \langle 0 | T\phi(x)\phi(y) | 0 \rangle + \langle 0 | T V(\phi(y))\phi(x) | 0 \rangle = -i\delta^4(x-y)$$

and higher Green func.

3. Show that time-ordered product is automatically taken care of inside a Path integral.

4. Prove the Feynman parametrization formula

$$\frac{1}{A_1 A_2 \dots A_n} = \int_0^1 dx_1 \dots dx_m \delta(\sum x_i) \frac{(n-1)!}{(x_1 A_1 + \dots + x_n A_n)^n}$$

Hint: first consider $\frac{1}{AB^n}$

which can be obtained from the formula for $\frac{1}{AB}$

○ Perturbation Theory (ϕ^4 -theory)

$$\mathcal{L} = \mathcal{L}_0 + \mathcal{L}_1$$

$$\mathcal{L}_0 = \frac{1}{2}(\partial\phi)^2 - \frac{m^2}{2}\phi^2$$

$$\mathcal{L}_1 = -\frac{g}{4!}\phi^4$$

$$Z[J] = N \int [D\phi] e^{iS_0 + i\int \mathcal{L}_1 + iJ\phi}$$

$$= N \langle 0 | T e^{i\int \mathcal{L}_1 + iJ\phi} | 0 \rangle_{\text{free theory vacuum}}$$

$$N^{-1} = \langle 0 | T e^{i\int \mathcal{L}_1} | 0 \rangle_{\text{free theory vacuum}}$$

Then

$$G_N(x_1, \dots, x_n) = \sum_{n=0}^{\infty} \frac{i^n}{n!} \prod_{j=1}^n \left\{ d^4 y_j \langle 0 | T \phi(x_1) \cdots \phi(x_n) \prod_{j=1}^n \mathcal{L}_1(y_j) | 0 \rangle \right\}_{\text{free field}}$$

$$= \sum_{n=0}^{\infty} \frac{i^n}{n!} \prod_{j=1}^n \left\{ d^4 y_j \langle 0 | T \prod_{j=1}^n \mathcal{L}_1(y_j) | 0 \rangle \right\}_{\text{free field}}$$

: "Gell-Mann-Low formula"

T perturbation w.r.t. g

Note

if series is convergent series \Rightarrow true asymptotic series " $\lim_{n \rightarrow \infty} G_N$ "

$$G_{N,n} \equiv O(g^n) \quad \forall n \geq 1$$

$$\Rightarrow |G_N - G_{N,n}| = O(g^{n+1}) \quad \text{as } g \rightarrow 0, \forall n$$

Why?

$\left(\begin{array}{l} g < 0 \Rightarrow \text{energy: unbounded from below} \\ \Rightarrow \text{vacuum state continued from } g > 0 \text{ is unstable} \end{array} \right)$

Problems

1. Consider the real free scalar theory

$$\mathcal{L} = \frac{1}{2}(\partial\phi)^2 - \frac{1}{2}m^2\phi^2$$

Show that it consists of infinite number of independent harmonic oscillators. Calculate the vacuum energy.

Discuss the nature of the particle of this theory.

2. From the path integral expression of Green func., derive the equations of Green func. e.g.

$$\partial_y^2 \langle 0 | T\phi(x)\phi(y) | 0 \rangle + \langle 0 | T V'(\phi(y)) \phi(x) | 0 \rangle = -i\delta^4(x-y)$$

and higher Green func.

3. Show that time-ordered product is automatically taken care of inside a Path integral.

4. Prove the Feynman parametrization formula

$$\frac{1}{A_1 A_2 \cdots A_n} = \int_0^1 dx_1 \cdots dx_n \delta(\sum x_i - 1) \frac{(n-1)!}{(x_1 A_1 + \cdots + x_n A_n)^n}$$

Hint: first consider $\frac{1}{AB^n}$

which can be obtained from the formula for $\frac{1}{AB}$

Wick Theorem

Free theory $\hat{\phi}(x)$ higher-point Green fns $\hat{\phi}(x_1) \hat{\phi}(x_2) \dots \hat{\phi}(x_n)$

4-term $\hat{\phi}^4$.

e.g.

$$\langle 0 | T \hat{\phi}(x_1) \hat{\phi}(x_2) \hat{\phi}(x_3) \hat{\phi}(x_4) | 0 \rangle = D_F(x_1-x_2) D_F(x_3-x_4)$$

$$\hat{\phi}_1 = \hat{\phi}(x_1) + \text{etc}$$

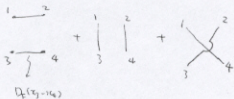
$$+ D_F(x_1-x_3) D_F(x_2-x_4)$$

$$+ D_F(x_1-x_4) D_F(x_2-x_3)$$

$$\left(\frac{1}{i} \frac{\delta}{\delta J_1} \frac{\delta}{\delta J_2} \frac{\delta}{\delta J_3} \frac{\delta}{\delta J_4} \right) e^{-\frac{1}{2} J^\dagger F J} \left[\begin{array}{c} \rightarrow \text{all possible pairings} \\ \downarrow \end{array} \right]$$

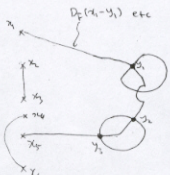
Graphically

$$\langle 0 | T \hat{\phi}_1 \hat{\phi}_2 \hat{\phi}_3 \hat{\phi}_4 | 0 \rangle =$$



- ① Gell-Mann-Low formula of 4-terms $\hat{\phi}(x)$ Wick theorem $\hat{\phi}^4$

$$\sum_{n=0}^{\infty} \frac{i^n}{n!} \prod_{j=1}^n \int d^4 y_j \langle 0 | T \hat{\phi}(x_1) \dots \hat{\phi}(x_n) \prod_{j=1}^n \frac{\delta}{\delta x_j} \hat{\phi}^*(y_j) | 0 \rangle$$



"Feynman diagram"

x_i on outer loop \rightarrow "external line"
 x_i, x_j on inner loop \rightarrow "internal line"

각 두 개의 pairing은 각각

$$\left\{ \begin{array}{l} x_i - x_j \text{ pairing} \\ x_i - j_j \text{ pairing} \\ y_i - y_j \text{ pairing} \end{array} \right.$$

而后叫作 "Feynman rule" 与之对等

(1) $D_F(x-y)$ for each line where x, y are the positions of the vertices at its end

(2) $-ig$ for each ϕ^4 interaction



$S=2$

(3) A combinatorial factor $1/s$



$S=3!$

(4) necessary integrals ($\int d^4y$ etc.)



$S=2 \cdot 2 \cdot 2$

In momentum space,

$$G_N(p_1, \dots, p_N) (2\pi)^4 \delta^{(4)}(p_1 + \dots + p_N) = \int d^4x_1 \dots d^4x_N e^{i(\phi_1 x_1 + \dots + \phi_N x_N)} G_N(x_1, \dots, x_N)$$

\uparrow
overall momentum conservation

(1) $\frac{i}{k^2 - m^2 + i\epsilon} = D_F(k)$ for a line with mom. k

(2) impose mom. conservation at each vertex

(3) $-ig$

(4) integrals over undetermined internal momenta: $\int \frac{d^4k}{(2\pi)^4}$

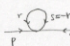
(5) combinatorial factor $1/s$

Example



$$= D_F(p) D_F(q) D_F(r) D_F(s) (-ig)$$

with $p+q+r+s=0$



$$= D_F(p) D_F(q) D_F(r) D_F(s) (-ig)$$

with $p+q+r-s=0$ i.e. $s=-p$

$$\int \frac{d^4r}{(2\pi)^4}$$



$$= (-ig)^3 \cdot \frac{1}{2} D_F(p) D_F(q) D_F(r) D_F(s) D_F(k) D_F(l)$$

$$Q = -q - r - k$$

$$p + q + r + s = 0$$

$$\Rightarrow \int \frac{d^4 k}{(2\pi)^4} \quad \text{performed.}$$

이 때 들여다보는 두 모로미 external momenta는 $p, q, D_F(p)$ 등이 고려될

나타난다. \Rightarrow 이들을 구조적으로 쓰지 않자

e.g. "amputated" Green fn.

$$\begin{array}{c} r \\ \text{---} \\ | \end{array} \quad = \int \frac{d^4 r}{(2\pi)^4} (-ig) D_F(r)$$

$$\begin{array}{c} r \\ \text{---} \\ | \end{array} = (-ig)^3 \frac{1}{2} \int \frac{d^4 k}{(2\pi)^4} D_F(k) D_F(l) \quad \text{etc.}$$

2-point function (propagator)

$$O(g) : \text{---}$$

$$O(g') : \text{---}$$

$$O(g^2) : \text{---} \quad \text{---} \quad \text{---} \quad \text{---} \quad O(g') \text{의 증거다}$$

$$O(g^3) : \text{---} \quad \text{---} \quad \text{---} \quad \text{---} \quad \text{---} \quad \text{etc.}$$

이를 정제로 하는 diagram 이를 가운데 선이 합성하는 링(원) 부호를 써야 한다



의 형태로 나타낼 수 있다

21.

$$G_2(p) = \frac{1}{p} + \text{---} + \text{---} + \dots$$

$$= D_F(p) + D_F(p) \text{---} D_F(p) + D_F(p)[\Sigma(p)] D_F(p)[\Sigma(p)] D_F(p) + \dots$$

\uparrow
"iΣ(p)"

$$= D_F(p) \left[1 + [i\Sigma(p)] G_2(p) \right] \quad \Sigma(p) : \text{"self-energy"}$$

$$G_2(p) \left[\underbrace{\frac{1}{D_F(p)}}_u + i\Sigma(p) \right] = 1$$

$$\therefore -i(p^2 - m^2 + i\varepsilon)$$

$$\therefore G_2(p) = \frac{1}{p^2 - m^2 - \Sigma(p) + i\varepsilon}$$

22. $\Sigma(p)$ 를 계산하는 법이다.

$\int \frac{d^4k}{(2\pi)^4}$ 계산하는 방법은 예전에 그려진 $\sqrt{\text{diagram}}$ amputated

$$O(s) : \text{---} = -ig \int \frac{d^4k}{(2\pi)^4} D_F(k) = -ig \int \frac{d^4k}{(2\pi)^4} \frac{i}{k^2 - m^2 + i\varepsilon}$$

\nearrow divergent as $k \rightarrow \infty \Rightarrow$ "UV divergence"
quadratically

Note

$k^0 \approx |k|$ 이며 물체의 momentum이 물체의 속도에 quadratic하게

인수인 i 를 포함하는 가능성이 거의 0%로 예상되는 그림이 있다.

Wick notation은 \mathbb{R}^4 Euclidean space로 가면 다음과 같다.

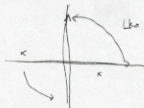
Wick notation (\therefore plus이 있는 경우)

$$t = -i\tau \Rightarrow d^4k = i d^4k_E$$

$$k^0 = i k_E^0$$

$$k^2 = -k_E^2 = -(k_E^{02} + \vec{k}^2)$$

$$Q = -\frac{i}{2} i \int \frac{d^4 k_0}{(2\pi)^4} \frac{-i}{k_0^2 + m^2 - i\epsilon}$$



이론적 의미: 무한 대수의 수렴성을 위한 방법.

→ "regularization" (physical meaning → later)

- $k \rightarrow \infty$ 때의 불안정성을 UV cut off로

→ cut off regularization, Pauli-Villars reg.

- 4차원에서의 경우 더 좋은

→ dimensional regularization : Most convenient.

즉, 무한대를 빼버린 계산을 통하여 그 이상의 아우디오 계산을 수 있는
방법을 찾는다.

$$\frac{d}{d(m^2)} \int \frac{1}{k^2 + m^2} = - \int \frac{1}{(k^2 + m^2)^2} : \text{log div.}$$

$$\frac{d^2}{d(m^2)^2} \int \frac{1}{k^2 + m^2} = 2 \int \frac{1}{(k^2 + m^2)^3} : \text{convergent!}$$

$$\Rightarrow \int \frac{1}{k^2 + m^2} = A + B m^2 + (\text{finite, well-defined expression})$$

divergent

이 경우 BPHZ 방법은 all order renormalizability.

증명은 매우 어렵지만.

- Dimensional regularization

$$I \equiv \int \frac{d^4 k}{(2\pi)^4} \frac{1}{k^2 + m^2} \rightarrow \int \frac{d^D k}{(2\pi)^D} \frac{1}{k^2 + m^2}$$

Gaussian integral

$$\text{useful identity } \frac{1}{A} = \int_0^\infty ds e^{-As}$$

$$\Rightarrow I = \int \frac{d^D k}{(2\pi)^D} \int_0^\infty ds e^{-(k^2 + m^2)s} = \int_0^\infty ds e^{-m^2 s} \int \frac{d^D k}{(2\pi)^D} e^{-k^2 s}$$

$$I = \int_0^\infty ds e^{-m^2 s} \frac{1}{(2\pi)^D} \left(\frac{\pi}{s}\right)^{\frac{D}{2}} = \frac{1}{(4\pi)^{\frac{D}{2}}} \int_0^\infty s^{-\frac{D}{2}} e^{-sm^2}$$

$$= \frac{(m^2)^{\frac{D}{2}-1}}{(4\pi)^{\frac{D}{2}}} \Gamma\left(1 - \frac{D}{2}\right) \quad ; \text{ divergent as } D \rightarrow 4$$

Let $\varepsilon = 4-D$

$$1 - \frac{D}{2} = 1 - \frac{1}{2}(4-\varepsilon) = -1 + \frac{\varepsilon}{2}$$

$$\Gamma(-1 + \frac{\varepsilon}{2}) = \frac{1}{-1 + \frac{\varepsilon}{2}} \Gamma\left(\frac{\varepsilon}{2}\right) = \frac{1}{-1 + \frac{\varepsilon}{2}} \frac{1}{(\frac{\varepsilon}{2})} \Gamma\left(1 + \frac{1}{2}\right)$$

$$= -\frac{2}{\varepsilon} + \text{finite.}$$

$$\therefore I \approx \frac{(m^2)^{\frac{D}{2}-1}}{(4\pi)^{\frac{D}{2}}} \left(-\frac{2}{\varepsilon}\right) + \dots$$

Then

$$-i\Sigma(p) = -\frac{i\eta}{2} \cdot \frac{(m^2)}{(4\pi)^2} \left(-\frac{2}{\varepsilon}\right) + \text{finite.} \equiv \Sigma_{\text{inf}} + \Sigma_{\text{fin}}$$

δ : dimensionless in $D=4$

dimensionful in $D \neq 4$

\Rightarrow introduce scale " μ "

$$g \rightarrow g \mu^{4-D} = g \frac{e^{(4-D)\ln\mu}}{\Gamma} = g (1 + \varepsilon \ln\mu + \dots)$$

dimensionless

$$\begin{cases} d^D (2\phi)^2 \rightarrow \frac{D-2}{2} = [\phi] & (\text{mass dimension}) \\ d^D g \phi^4 \rightarrow [g] = D + \frac{D-2}{2} \cdot 4 \Rightarrow [g] = 4-D \end{cases}$$

$$[G_R(p)]^{-1} = p^2 - m^2 - \Sigma(p) + i\epsilon$$

$\Sigma \approx m^2 + \text{large real part}$

\Rightarrow absorb infinity into m^2

$$m_R^2 \equiv m^2 + \Sigma_{\text{inf}}$$

$$\text{Then } [G_n(p)]^{-1} = p^2 - m_\infty^2 - \Sigma_{\text{fin}} + i\varepsilon$$

↑
finite

2nd m_K^2 finite quantity를 생각하자

3rd Lagrangian의 바깥 끝에 ϕ at. 끝내 Lagrangian

$$+ \frac{1}{2} \Sigma_{\text{inf}} \phi^2 : \text{"counter term"}$$

4th Σ_{inf} 에 대해서 m_0 이 $m^2 - \Sigma_{\text{inf}}$ 로 바뀐다.

$$[G_2(p)]^{-1} = p^2 - (m^2 - \Sigma_{\text{inf}}) - \Sigma_{\text{fin}} + i\varepsilon$$

$$= p^2 - m^2 - \underbrace{[\Sigma - \Sigma_{\text{inf}}]}_{\text{!}} + i\varepsilon \quad ; \text{finite.}$$

Σ_{fin}

5th m 을重新하는 경우 나온다. Lagrangian의 parameter를
redefine하여 ($m \rightarrow m_K$) divergence를 제거할 수 있다면 이를

6th Σ_{inf} ($\frac{1}{2} \Sigma_{\text{inf}} \phi^2$) divergence를 제거하는 것을 renormalization

7th 이다. 이때 Σ_{inf} 는 m_0^2 로 초기 m 의 Lagrangian의 m^2 를

8th 그대로 두고 Σ_{inf} 를 제거한 후 m^2 를 parameter로 redefined하는 경우

9th m^2 를 갖게 된다.

Note

1. 예전에는 $\Sigma(p)$ 가 때로 '특수'라고 간주되었지만 일반적으로는 p 에 '속수'이다.

2. Σ 를 Σ_{inf} 와 Σ_{fin} 로 나눌 때 정확히 어느 값을 Σ_{inf} 로 놓아야

10th 하는지는 모호하다. 예를 들면 $\Sigma_{\text{fin}} = 0$ 인 경우 Σ_{inf} 를 Σ_{fin} 로 놓을

11th 수도 있다. 이러한 불분명성이 renormalization group의 기초가 된다.

4-point function.

$$\mathcal{O}(g) : X = -ig$$

$$\mathcal{O}(g^2) : \text{Diagram 1} + \text{Diagram 2} + \text{Diagram 3}$$

$$\text{Diagram 1} = \frac{i}{2} (-ig)^2 \int \frac{d^4 k}{(2\pi)^4} \frac{i}{k^2 - m^2 + i\epsilon} \frac{i}{(k+p_1+p_2)^2 - m^2 + i\epsilon}$$

$$\equiv (ig)^2 i V(s) \quad s = (p_1+p_2)^2 \equiv p^2$$

$$V(s) = \frac{i}{2} \int \frac{d^4 k}{(2\pi)^4} \frac{1}{k^2 - m^2 + i\epsilon} \frac{1}{(k+p)^2 - m^2 + i\epsilon}$$

: Logarithmically divergent

Feynman parametrization

$$\frac{1}{AB} = \int_0^1 dx \frac{1}{[xA + (1-x)B]^2} = \int_0^1 dy dy \delta(1-x+y) \frac{1}{(xA+yB)^2}$$

$$V(s) = \frac{i}{2} \int \frac{d^4 k}{(2\pi)^4} \int_0^1 dx \frac{1}{(k^2 + 2xk \cdot p + x^2 p^2 - m^2)^2}$$

$$= " \frac{1}{[\ell^2 + x(1-x)p^2 - m^2]^2}, \quad \ell = k + xp$$

$$\text{Wick rotation} \rightarrow = \frac{i}{2} i \int_0^1 dx \int \frac{d^4 \ell_E}{(2\pi)^4} \frac{1}{[\ell_E^2 - x(1-x)p^2 + m^2]^2}$$

$$\text{dim regular} \rightarrow -\frac{1}{i} \int_0^1 dx \frac{1}{(4\pi)^2} \Gamma(\frac{\gamma-\beta}{i}) \frac{1}{[m^2 - x(1-x)p^2]^{2-\beta/i}}$$

$$\xrightarrow{\epsilon \rightarrow 0} -\frac{1}{32\pi^2} \int_0^1 dx \left\{ \frac{2}{\gamma} - \gamma - \ln 4\pi - \ln [m^2 - x(1-x)p^2] \right\}$$

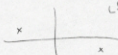
이전에 미적분학에서 $\sqrt{-g}$ divergent part이 finite part

4번의 $\sqrt{-g}$ redifine하여 4번의 terms Lagrangian

5번의 $\sqrt{-g}$ 미적분학에서 같은 QM은 24.

10 Note

Wick rotation은 time \rightarrow ~~plus~~ space-like part applying Wick's rule.



15 time-like part remains spacelike part taking care of sign.

Analytically continue from real to complex plane.

20 [3]

More on 2-point function

$$\sum_{m=1}^{\infty} m = -\frac{1}{12}$$

25 observables $\Sigma(p)$ is p only depend.

propagator pole of physical mass etc.

$$[G_2(p)]^{-1} = 0 \text{ at } p^2 = m_{phy}^2 \quad (\text{by definition})$$

$$\Rightarrow m_{phy}^2 - m^2 - \Sigma(m_{phy}^2, m^2) = 0$$

↓ ↓
finite divergent

$$\Sigma(m_{phy}^2, m^2) =$$

$$\Rightarrow m_{phy}^2 = m^2 + \delta m^2$$

physical renormalization scheme
mass-shell renormalization

40 where $\delta m^2 = \Sigma(m_{phy}^2, m^2)$: "dynamical contribution
to mass"

45 Expand $\Sigma(p) = \delta m^2 + (p^2 - m_{phy}^2) \Sigma'(m_{phy}^2, m^2) + \tilde{\Sigma}(p)$

$$G(p) = \frac{i}{p^2 - m_{phy}^2 - (p^2 - m_{phy}^2) \Sigma'(m_{phy}^2) - \tilde{\Sigma}(p) + i\varepsilon}$$

$$= \frac{i}{(p^2 - m_{\text{phys}}^2)(1 - \Sigma') - \tilde{\Sigma} + i\epsilon}$$

$$\approx \frac{1}{(1 - \Sigma')} \frac{i}{p^2 - m_{\text{phys}}^2 - \tilde{\Sigma} + i\epsilon} = \frac{i Z_R}{p^2 - m_{\text{phys}}^2 - \tilde{\Sigma} + i\epsilon}$$

$$Z_f = \frac{1}{1 - \Sigma'} : \text{"wavefn renormalization const"}$$

Define "renormalized field"

$$\phi_R = Z_f^{-\frac{1}{2}} \phi$$

$$\Rightarrow \langle 0 | T \phi \phi | 0 \rangle = Z_f \underbrace{\langle 0 | T \phi_R \phi_R | 0 \rangle}_{\text{finite}}$$

In summary,

- divergence in self-energy

mass renormalization
wavefn renormalization

- divergence in 4-point fn

→ coupling const. renormalization

→ Green fn is finite in $m_{\text{phys}} \leq 24$

$\langle 0 | T \phi \phi | 0 \rangle$ is finite at all orders in g_{phys}

→ renormalizability

Unrenormalized original Lagrangian

$$\mathcal{L} = \frac{1}{2} (\partial_\mu \phi)^2 - \frac{1}{2} m^2 \phi^2 - \frac{g}{4!} \phi^4$$

"bare Lagrangian" "full Lagrangian"

Redefinition of parameters and fields

$$\phi_R = Z_f^{-\frac{1}{2}} \phi$$

$$m_R^2 = m^2 + \delta m^2$$

$$g_{\mu\nu} = Z_g^{-1} Z_f^2 g$$

Express the bare Lagrangian in terms of renormalized quantities

$$\mathcal{L} = \mathcal{L}_R + \mathcal{L}_{CT}$$

$$\mathcal{L}_R = \frac{1}{2} (\partial_\mu \phi_R)^2 - \frac{1}{2} m_R^2 \phi_R^2 - \frac{g_R}{4!} \phi_R^4 \quad ; \text{ "Renormalized Lagrangian"}$$

$$\mathcal{L}_{CT} = \frac{1}{2} (Z_f - 1) Q \phi_R^2 + \frac{1}{2} [(Z_g - 1)m_R^2 - \delta m^2 Z_f] \phi_R^2 - \frac{1}{4!} g_R (Z_g - 1) \phi_R^4$$

"counterterm Lagrangian"

Renormalized Green functions

$$G_{2R}(x, y) = \langle 0 | T \phi(x) \phi(y) | 0 \rangle = Z_f \langle 0 | T \phi_R(x) \phi_R(y) | 0 \rangle = Z_f G_{2R}(x, y)$$

$$G_N(x_1, \dots, x_N; m, g) = Z_f^{\frac{N}{2}} \underbrace{G_N(x_1, \dots, x_N; m_R, g_R)}_{\text{finite}}$$

In terms of computed Green functions,

$$G_N^{amp}(p_1 \dots p_N; m, g) = \frac{1}{G_2(p_1)} \dots \frac{1}{G_2(p_N)} G_N(p_1 \dots p_N) = \frac{1}{Z_f^N} Z_f^{\frac{N}{2}} G_N^{amp}(p_1 \dots p_N)$$

$$= \underbrace{Z_f^{\frac{N}{2}} G_N^{amp}(p_1 \dots p_N; m_R, g_R)}_{\text{finite}} \underbrace{\text{etc.}}_{\text{in scattering matrix}}$$

This is the quantity appearing

Alternative viewpoint

5 renormalized Lagrangian: 0이 3을 5로 쓰면 4는 6으로 쓰는
("tree Lagrangian")

$$10 L_R = \frac{1}{2} (\partial \phi_R)^2 - \frac{1}{2} m_R^2 \phi_R^2 - \frac{g_R}{4!} \phi_R^4$$

9th order perturbation series is diagrammatic 7th order
⇒ divergence ⇒ 4+4+4.

15 at divergence은 6개가 5개의 Lagrangian에 시효율 항들을 더해
"Counterterm Lagrangian"

20 1-loop order div. → $L_{CT}^{(1)}$ 7th order counterterm

$$L = L_R + L_{CT}^{(1)} \text{ so far}$$

new interaction

25 2-loop order: $L_R + L_{CT}^{(1)}$ is 2-loop까지 고려되었음. 4+4 divergence는

$L_{CT}^{(2)}$ 를 더해 9th order

$$30 \Rightarrow \text{new Lagrangian } L = L_R + L_{CT}^{(1)} + L_{CT}^{(2)}$$

35 $L = L_R + L_{CT}$

: full Lagrangian

$$L_{CT} = L_{CT}^{(1)} + L_{CT}^{(2)} + \dots$$

40 only divergence는 6개가 5개의 7th order $L_{CT}^{(1)}$ 들이 L_R 와 같은

45 그 다음 차지하고 있는 알파 강약과 같아지고 2번의 이론을 renormalizable

4+4+2 형태. L_R 에 있는 5개의 7th order는 div.가 1+1+1+1+1+1+1

non renormalizable 4+4+2 형태. 7,

$$\text{renormalizable} \Rightarrow L_{CT}^{(1)} = \frac{1}{2} \delta Z_{\phi}^{(1)} (\partial \phi_R)^2 - \frac{1}{2} \delta m^{(1)} \phi_R^2 - \frac{1}{4!} \delta g^{(1)} \phi_R^4$$

divergent constants

여기 diagram 은 어떤 특징인가?

UV div \rightarrow massif external mom. 때문에 3차원 공간에 있는 loop
loop mom. 를 더 power로 생각하면 된다

Naive dimensional argument

dimension of N-point Green fm in mom sp.

$$[G_N(p_1 \dots p_N)] + [\underbrace{S^4(p)}_{=4}] = N \underbrace{[d^4x]}_{=4} + [G_N(x_1 \dots x_N)] \underbrace{N}_{=4}$$

$$\Rightarrow [G_N(p)] = -3N + 4 \quad (\because [d^4x] = 1)$$

amputated Green fm

$$[G_N^{\text{amp}}(p)] = -N \underbrace{[G_2(p)]}_{=2} + [G_N(p)] \\ = +2N - 3N + 4 = \underline{4-N}$$

UV regularization은 external mom의 mass에 의해 3차원 공간에 있는 loop

여기 n-th order Feynman diagram은

$g^n \times \left[\begin{array}{l} \text{complicated integral of loop momenta} \\ \text{without any other dimensionful quantities} \end{array} \right]$

$$\left(\int dk_1 dk_2 \dots \frac{1}{k_1^2 k_2^2 \dots} \right)$$

$D \frac{p}{2}$ integral의 dimension이 4차면 $\left\{ \begin{array}{l} \frac{3}{2}, D = 4.(\# \text{ of loop mom.}) \\ -2.(\# \text{ of propagators}) \end{array} \right.$

$$4-N = n[g] + D$$

ie $D = 4-N - n[g]$

"superficial degree of divergence"

$D \geq 0$ 이면 integral이 유효하고 나누는 것에 대해

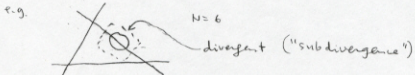
external line의 차수 수족, 그리고 coupling const. dim.의 차수 수족
이 ≤ 0 인 경우에 대해 ϕ^4 theory에서 $[g] = 0$ 이다.

loop order n 에 복잡하다 2 -pt function은 $D=2 \approx$

divergence를 보이고 4 -pt func. $D=0$ 은, log divergence를 보인다.

Note

1. $D < 0$ 이라고 하면 항상 나누는 것은 아니다.



2. 아래와 subdiv.는 전형 diagram이 아니며 보통의 경우에 대체로 나누는 수 있는 경우가 대체로이다. (exception: overlapping div.)

2. 특별한 경우에는 external momentum이 0으로 끌 때 diagram 자체가 나오기 때문이다 P^0 [loop integral]

제대로 나누는 경우가 아니라, 예를 들어 D 가 positive라 하면 으로 나누는 $D - k$ 이 아닌 overall divergent. (example : gauge theory)

3. coupling const.의 dimension이 divergence에 따른 짐작에 따라
증정되는 경우이다. $[g]$ 가 양수라면 2-loop, 3-loop 등과 같은 경우
 D 가 양성 유효로 이전 경우에는 divergent diagram이
아마 오다는 것을 알 수 있다. 하지만 ϕ^4 th 경우 $[g] = 0$ 이라
특정의 많은 divergent diagram들이 있다. 따라서 $[g] < 0$ 이면
higher order로 가는 경우 ϕ^4 th 경우와 같이 나누는 경우로 counterterm 들이
필요해진다.

In general, \exists 4 types

"These infinitely clever young people all need to be renormalized"

(i) finite theory

e.g. free theory, some theories with supersymmetry

(ii) super-renormalizable theory

$$[g] > 0 \text{ 例 } g^2$$

finite mass counterterm or TAD

(iii) Strictly renormalizable theory

$$[g] = 0 \text{ 例 } g^2$$

∞ mass counterterm \rightarrow 흑도 차이 \rightarrow 그 자체가 흑도 차이

(iv) Nonrenormalizable theory

$$[g] < 0 \text{ 例 } g^4$$

correct counterterm 흑도는 무한대 \rightarrow MEMS 흑도는 무한대

e.g. ϕ^6 theory in 4D, Fermi theory of weak interaction

$$g\phi^6$$

$$[g] = -2$$

counterterm ϕ^8, ϕ^6 등이 흑도 차이로 ∞

$\propto k^2 \approx \propto q^2 \rightarrow \infty$ # of couplings

(no predictive power)

Note

Partial local counterterm은 흑도를 줄여 줄 수 있는지를 \rightarrow ?

1-loop: done already, higher-loop?

problem: overlapping divergence

(why not $\frac{1}{6} L^2 \pi^2$)



는 흑도를 줄여 줄 수 있는지 흑도 차이

resolution: [BPHZ forest formula] + [Weinberg thm] + [combinatorics]

See any "advanced" QFT book on renormalization

② Renormalization Scheme

Traditional view on renormalization:

renormalization = procedure of working with measured quantities instead of bare quantities

↑
too restrictive

$$\mathcal{L} = \mathcal{L}_R + \mathcal{L}_{CT}$$

e.g. $m^2 = m_R^2 - \delta m^2$

finite div.

$m^2 = m_{phys}^2$ (m_{phys}^2 : pole of the propagator)
: traditional view

20 25 30 35 40 45
renormalized mass m_R \in physical value \exists $m_R^2 = m_{phys}^2$
아직은 미정 가 \neq .

$$\begin{aligned} \mathcal{L} &= \mathcal{L}_R + \mathcal{L}_{CT} & m^2 &= m_R^2 - \delta m^2 \\ &= \mathcal{L}'_R + \mathcal{L}'_{CT} \end{aligned}$$

$= m_R'^2 + \delta m'^2$

The same theory from the beginning.

m_R \in 미정인 값은 finite이면 \exists m_{phys}^2 Green function

만약 δm^2 $\neq 0$ 이고 m_R^2 \in 미정이면 $m_R^2 = m_{phys}^2$ unique result \exists
알게 된다.

나는 가지로 $\phi_R = \tilde{\phi}_f^{-\frac{1}{2}} + \dots$ 와 $\tilde{g}_R = \tilde{z}_f^{-1} \tilde{z}_f^2 g + \dots$ $\tilde{z}_f, \tilde{z}_f^2$

이들이 δm^2 divergence \exists . δm^2 $\neq 0$ 은 ϕ_R \in 미정 된다.

$$\phi'_R = \tilde{\phi}_f^{-\frac{1}{2}} + = \underbrace{\left(\frac{\tilde{z}_f}{\tilde{z}_f^2}\right)^{\frac{1}{2}}}_{\text{finite}} \phi_R, \quad \tilde{g}'_R = \underbrace{\left(\frac{\tilde{z}_f}{\tilde{z}_f^2} \frac{\tilde{z}_f^2}{\tilde{z}_f^2}\right)}_{\text{finite}} \tilde{g}_R$$

이제 $L = L_R + L_C$, 즉 divergent quantity는

infinite part + finite part \rightarrow 이를 통해 무언가를

"renormalization scheme (or renormalization prescription)"이라
합니다.

Note

1. 흔히 쓰는 renormalization scheme의 예

2. 다른 여러 Scheme은 그에 따른 고려 것인가를 드러내는 것

e.g. mass-shell scheme

minimal subtraction scheme

BPHZ scheme

(preserves many symmetries)
(e.g. gauge symmetry)

7장에서 배운 dimensional regularization와는

minimal subtraction은 같은 것입니다

Ansatz

1. regularization과 scheme은密切한

e.g. dim. reg.와는 같은 mass-shell scheme은 서로无关

cutoff regularization은 " " " " " " " "

2. 어떤 경우에는 regularization과 scheme은 서로无关

예를 들어서 $\lambda \phi^4$

$$\text{e.g. } \sum_{n=1}^{\infty} n = S(1) = -\frac{1}{12}$$

3.正规 scheme은正规화된 Lagrangian을 만들 수 있다.

(full Lagrangian은 예전 대수에) 예를 들어 propagator poles

위치는 renormalized mass로 정해진다. 예전 대수에서는 m_p^2 이었

Minimal subtraction

dim. reg. 노이즈 $\propto \epsilon$ divergence in Γ -function pole $\propto \epsilon^2$ $\propto \epsilon^4$
e.g.

$$\Gamma(s) = -\frac{1}{2} \underbrace{\frac{1}{(4\pi)^{d/2}} \Gamma(2-\frac{d}{2})}_{\sim \frac{1}{\epsilon^2}} \int_0^1 dx \frac{1}{[m^2 - x(1-x)p^2]^{d/2}}$$

$$\sim \frac{1}{\epsilon^2} + \dots \quad \epsilon = 4-D$$

from Γ -function pole part of divergent part is $\propto \epsilon^2$ $\propto \epsilon^4$
use minimal subtraction scheme.

equation

$$m^2 = m_R^2 - \delta m^2$$

$$\delta m^2 = \sum_{r=1}^{\infty} \frac{b_r(\alpha)}{\epsilon^r}$$

$$g = \mu^2 \left[g_R + \sum_{r=1}^{\infty} \frac{a_r(\alpha)}{\epsilon^r} \right]$$

$$\phi = \Phi_R \left[1 + \sum_{r=1}^{\infty} \frac{c_r(\alpha)}{\epsilon^r} \right]$$

here a_r, b_r, g_r \in dimensionless and ϕ is dimensionless
quantity가 들어가 있지 않음. ϕ 는 g 의 함수이다.
(mass-indep⁺ scheme)

이때 각각의 계수를 가지는 m^2 는 parameter가 있는 모든 주변에 있다.

즉 m 은 실제 Lagrangian의 모든 parameter로 정의된다.

마지막에 ϕ 는 α 의 물리적 물체로 정의가 되고 ϕ 는 물리적 물체로 정의된다.

시작은 그림과 같고 물리적인 조건에 의해 정비된다. 예를 들어

physical mass가 m_{phys} 라는 조건을 주면 m 은 m_R 와 m_{phys}

는 두 가지 조건이다. 예를 들어 m_R 은 물리적 물체로 정비된다.

따라서 μ 를 바꾸는 것은 m 을 바꾸는 것에 해당하고

이를 브로우먼 renormalization scheme⁵叫做할 것이다.

(\exists , L_R 와 L_T 를 바꾸는 방법을 바꾸는 것)

그것은 minimal subtraction⁶이라고 하는 scheme⁷이다.

즉 여기서는 엄밀히 말해 "one-parameter family of

renormalization schemes"이라 할 수 있다.

○ Renormalization Group

이런 기본 이미 \rightarrow scheme⁸을 바꾸는 m, g , Green fn 등이

바뀌는 것을 보는 것이다.

여기서는 minimal subtraction⁹의 μ 를 변화시킬 때 마다 상수를 바꾼다.

μ : continuous parameter which must be physically unimportant

(e.g. m_{phy} does not change, $\frac{d}{d\mu} m_{phy} = 0$)

만약 theory¹⁰을 정복하는 데 도움이 되면 μ 는 최종값을 갖게 되는 경우

정복하는 데 도움이 되는 perturbation으로 정복되는 경우는 정복되는 경우

실제 현실적으로 적용한 μ 는 정복되는 정복되는 경우를 주는 경우이다.

Consider bare Green fn

$G_N(p; g, m)$: indep. of μ by construction

$$\Rightarrow \frac{d}{d\mu} G_N = 0 : \text{This is essentially the RG eq.}$$

Renormalized Green fn¹¹은 다음과 같다

$$G_N(p; g, m) = \Xi_q^N G_{NR}(p; g_q(\mu), m_q(\mu), \mu)$$

$$0 = \frac{d}{dp} G_{NR} = \frac{N}{2} Z_+^{\frac{N}{2}-1} \frac{d \ln Z_+}{dp} G_{NR} + Z_+^{\frac{N}{2}} \frac{d}{dp} G_{NR}$$

$$\therefore \frac{d}{dp} G_{NR} = - \underbrace{\frac{N}{2} \frac{d \ln Z_+}{dp}}_{\text{RG}} G_{NR}$$

$$\left(\frac{\partial}{\partial \mu} + \frac{d \ln \frac{\partial}{\partial \mu}}{d \mu} + \frac{d \ln^2 \frac{\partial}{\partial \mu}}{d \mu^2} \right) G_{NR}$$

$$\therefore \left[\mu \frac{\partial}{\partial \mu} + \beta \frac{\partial}{\partial g_R} + \gamma_m m_m^2 \frac{\partial}{\partial m_\mu^2} + N \gamma \right] G_{NR} = 0$$

$$\beta = \mu \frac{d \ln g_R}{d \mu}$$

$$\gamma_m = \mu \frac{d \ln m_m^2}{d \mu}$$

: RG equation

RG coefficients

$$\gamma = \frac{1}{2} \mu \frac{d}{dp} \ln Z_+$$

To calculate these (in minimal subtraction), use the fact that bare parameters are "RG invariant."

$$g = \mu^\epsilon \left[g_R + \frac{1}{\epsilon} a_1(g_R) + \frac{1}{\epsilon^2} a_2(g_R) + \dots \right]$$

$$0 = \mu \frac{d g}{d \mu} = \epsilon \mu^\epsilon \left[\dots \right] + \mu^\epsilon \left[\mu \frac{d g_R}{d \mu} + \frac{1}{\epsilon} a'_1 \mu \frac{d}{d \mu} g_R + \dots \right]$$

$$0 = \epsilon g_R + a_1 + \dots \left(1 + \frac{1}{\epsilon} a'_1 + \dots \right) \mu \frac{d g_R}{d \mu}$$

$$\mu \frac{d g_R}{d \mu} = - \left(1 + \frac{1}{\epsilon} a'_1 + \dots \right)^{-1} \left(\epsilon g_R + a_1 + \dots \right)$$

$$= - \epsilon g_R - a_1 + g_R \frac{d a_1}{d g_R} + (\text{negative powers of } \epsilon)$$

$\epsilon \rightarrow 0$ 을 때 g_R 은 finite $\epsilon \neq 0$ 일 때는 negative power

이 때 a_1 은 finite $\epsilon \neq 0$ 일 때는 zero

$$\mu \frac{dg_R}{d\mu} = -a_1 + g_R \frac{da_1}{dg_R} = \beta(g_R)$$

Feynman diagram은 미분하여 $\frac{1}{\epsilon}$ 의 coefficient를 구하면

β -function은 찾을 수 있다. $\gamma_m + \gamma_m$ 미분으로 미분가능한
계수 찾을 수 있다.

Example 1-loop

$$a_1 \propto g_R^2 \Rightarrow g_R \frac{da_1}{dg_R} = 2a_1$$

$$\therefore \beta(g_R) = a_1(g_R)$$

For ϕ^4 theory, we find

$$\beta(g_R) = -\frac{3}{16\pi^2} g_R^2 \quad ; \text{ exercise.}$$

Solve

$$\mu \frac{dg_R}{d\mu} = \beta(g_R)$$

from now on

$$\int_{g(\mu)}^{g(\mu')} \frac{dg}{\beta(g)} = \int_{\mu}^{\mu'} \frac{d\mu}{\mu} = \ln \frac{\mu'}{\mu}$$

For ϕ^4 -th. 1-Loop,

$$-\frac{1}{g(\mu')} + \frac{1}{g(\mu)} = \frac{3}{16\pi^2} \ln \frac{\mu'}{\mu}$$

$$g(\mu') = \frac{g(\mu)}{1 - \frac{3}{16\pi^2} g(\mu) \ln \frac{\mu'}{\mu}}$$

이 A₂ 는 μ^2 를 대체하는 coupling const. 를 의미하는
변수는 r^2 를 대체한다.

Note

1. For small $g(\mu)$,

$$g(\mu') \approx g(\mu) + \frac{3}{16\pi^2} g^2(\mu) \ln \frac{\mu'}{\mu} + O\left(g^3 \left(\frac{\mu'}{\mu}\right)^2\right)$$

i RG 풀기로 perturbation은 차지하고 만드는 것 같다.

RG 는 차지하고 만드는 풀기로 renorm. scheme 이

구현되나, perturbation은 네이버스 조건을 더 복잡하게 만든다.

2.0.1.2. 그동안 perturbations은 차지하고 만드는 차지하고 만드는 풀기

2. μ 는 parameter 를 나누는다.

μ : a characteristic momentum scale we would like to investigate

Green fn ~ contains $\ln P^2/\mu^2$ term

μ 보다 큰 scale의 fluctuation은 divergent가하고 $\sim \ln P^2/\mu^2$

유한한 2-1차

$P^2 \sim \mu^2$ 일 때 \ln term은 2-2고 Green function 만큼은 0이다

보통 확률은 4차로

momentum scale이 μ 보다 크거나 같은 log term은

거대한 주된 결과를 주지 않는다. 이전에 μ 는 4319 P와

비슷한 크기로 풀었을 때는 log term을 찾았고 2-1차로

Coupling을 풀어놓을 때는 수 있다. 이 43899 RG는

3차 조건을 만족하는 perturbations은 4차로 log terms의 effect는 2-1차로

A₂ coupling은 2-2로 2-1차.

• vigorous β function of theory after unit rate goes below

critical.

Case (a)

critical $\mu \approx 4^{\text{th}}$ et seq

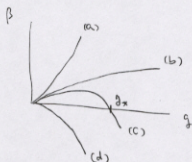
given $\beta(g)$, unit time $\mu' = 1 - \frac{3}{2}g_*$

$$\exists \mu \quad \beta(\mu') \rightarrow \infty$$

\Rightarrow perturbation breaks down

Moreover the theory itself might be ill-defined

YM theory is unique but it is not always well-defined



Case (b)

$$\beta(g) \rightarrow \infty \quad \text{as } \mu \rightarrow \infty \quad (\text{e.g. } \beta(g) \sim b g^k, k < 1)$$

finite scale of $\beta(g)$ \Rightarrow finite fixed point (a)의 경우에 비해 좋다

Case (c)

$$\beta(g) = 0 \quad \text{at } g_* \quad g = g_* \text{ is a fixed point}$$

"fixed point"

$$\begin{cases} g < g_* : & \frac{dg}{d\mu} > 0 \text{ (e.g. } \mu \text{가 증가할 때 } g \text{도 증가)} \\ g > g_* : & < 0 \quad \dots \quad g \in \mathbb{R} \end{cases}$$

$$g \approx g_* \text{ 일 때 } \beta(g) \approx a(g_* - g), a > 0$$

$$0 \stackrel{\text{def}}{=} \lim_{\mu \rightarrow \infty} \beta(g) \quad \int \frac{dg}{g_* - g} = \ln \mu + \text{const.} \Rightarrow g = g_* - \mu^{-a}$$

$\mu \rightarrow \infty$ "in" $g \rightarrow g_*$: "UV fixed point"

Case (d)

$\mu \gg \frac{1}{g} \gg m$ or $g \ll g_{*}$ $\mu \rightarrow \infty \Rightarrow g \rightarrow 0$: "asymptotic freedom"
 $\Rightarrow \mu \gg T \gg \Lambda$, perturbative $\frac{1}{g} \gg \frac{1}{\Lambda}$.
 $g=0 \Rightarrow UV$ fixed pt.

YM theory is strongly coupled.

Now consider

$$\gamma = \frac{1}{\beta} \mu \frac{d}{d\mu} \ln Z_f \quad \text{involves divergence}$$

Change of $\mu \rightarrow \mu'$

$$\phi_R = Z_f^{\frac{1}{2}} \phi \rightarrow \phi'_R = Z_f'^{-\frac{1}{2}} \phi = \underbrace{\left(\frac{Z_f'}{Z_f} \right)^{\frac{1}{2}}}_{\text{finite}} \phi_R \approx \zeta^{-1}$$

$$\gamma(g(\mu)) = \frac{1}{\beta} \mu' \frac{d}{d\mu'} \ln \frac{Z_f(\mu')}{Z_f(\mu)} = \mu' \frac{d}{d\mu'} \ln S(\mu', \mu)$$

$$S(\mu', \mu) = \exp \int_{\mu}^{\mu'} \frac{d\mu}{\mu} \gamma(g(\mu)).$$

$$= \exp \int_{g(\mu)}^{g(\mu')} dg \frac{\gamma(g)}{\beta(g)}$$

$\therefore g = g_*$ at UV fixed pt \Rightarrow const (Case (c)), $\mu' \rightarrow \infty \Rightarrow$

$$\gamma(g) \simeq \gamma(g_*) + \gamma_1(g - g_*) + \dots$$

$$S(\mu', \mu) \simeq \exp \left\{ \gamma(g_*) \int_{\mu}^{\mu'} \frac{d\mu}{\mu} + \dots \right\}$$

$$= e^{\gamma(g_*) \ln \mu'/\mu} = \left(\frac{\mu'}{\mu} \right)^{\gamma(g_*)}$$

$$\frac{\phi'}{\phi} \simeq \left(\frac{\mu'}{\mu} \right)^{\gamma(g_*)} \phi_R$$

$\gamma(g_*)$: "anomalous dim."

$$G_N(p_i : g(\kappa\mu), m(\kappa\mu), \kappa\mu) = S(\kappa\mu, \mu)^N G_N(p_i : g(\mu), m(\mu), \mu)$$

dimensional analysis $\kappa \rightarrow \infty$

$$G_N(\kappa p_i : g(\kappa\mu), m(\kappa\mu), \kappa\mu) = \kappa^{\dim G_N} G_N(p_i : g(\kappa\mu), \frac{m(\kappa\mu)}{\kappa}, \mu)$$

$$\therefore G_N(\kappa p_i : g(\mu), m(\mu), \mu) = S(\kappa\mu, \mu)^N G_N(p_i : g(\kappa\mu), m(\kappa\mu), \kappa\mu)$$

$$= \kappa^{\dim G_N} S(\kappa\mu, \mu)^N G_N(p_i : g(\kappa\mu), 0, \mu)$$

if \exists fixed μ $g = g_\star$, $S(\kappa\mu, \mu) = \kappa^{r(g_\star)}$

$$\Rightarrow G_N(\kappa p_i : g(\mu), m(\mu), \mu) = \kappa^{\dim G_N + N r(g_\star)} G_N(p_i, g_\star, 0, \mu)$$

\therefore UV region of Green function additional dim. $N r(g_\star) \gg$

$\approx 2\pi \alpha_s$ scale, decay coupling $\propto g_\star \rightarrow T \propto$

Note

1. Λ : UV cutoff.

$$\Lambda^{r(g_\star)} \phi = \mu^{r(g_\star)} \phi_R : \text{finite}$$

$\underbrace{\Lambda}_{\text{disregard}} \underbrace{\phi}_{\text{bare field}} : \text{divergent}$
 $\underbrace{\mu^{r(g_\star)}}_{\text{finite}}$

finite by physical quantity \approx $\mu^{r(g_\star)}$ \gg

$\mu^{r(g_\star)}$ \approx "dimensionful" quantity \rightarrow $\mu^{r(g_\star)}$

\approx dimension \approx "anomalous" dimension \approx

2. UV region near g_\star : a fixed numerical number
 \Rightarrow no free parameter in Green func
 "universality"

In QCD,

$$\beta = -\frac{g^2}{4\pi^2} \left(\frac{11}{4} - \frac{1}{6} n_f \right)$$

$$\Rightarrow \alpha_s(\mu) = \frac{g^2(\mu)}{4\pi} = \frac{12\pi}{(3-2n_f) \ln(\mu^2/\Lambda^2)}$$
! exercise.

Λ : RG - inv. const.

dimensional transmutation

① Wilsonian Renormalization Group.

Renormalizability \rightarrow physically important?

QED, Electro-weak, QCD : all renormalizable.

Why?

물론이 아는가? (e.g. Causality, relativity, ...)

But it is just a "technical" procedure to get finite results out of badly divergent expressions.

Answer: Wilsonian picture of renormalization

Effective field theory

• 다른 물리定律(예: QED, QCD, etc)의 renormalizable

cutoff는 모든 물질은 극히 이전에 있는 것을 예상하는 것과는

여러 가지 그 이유는 아주 고지연적 영역까지 확장을 기울여 놓아온

기대하기는 어렵다. 따라서 이를 characteristic scale이

있어야 그 영역 이전에는 확장이 다른 이유 때문에 기울이고

2 scale or 2つのスケール QED, QCD 등이 있는 π^2/Λ のスケールと呼ばれる Λ のスケール

5 つまり 2つの characteristic scales, UV cutoff を導出する
% が特徴的である。

10 ~ 100 MeV 位の Λ は 1930~40 年代に renormalization を
 연구하면서 2つある Λ のスケールを把握する。

Natural question

15 cutoff がどの程度まで取るかを理解するには何が
% が最も重要で、それは如何に決定されるか?

20 \Rightarrow 1st step : cutoff 를 선택하거나 정의하는 것은
% が何인가.

25 change of cutoff \Rightarrow change of coupling constants
% to give the same physical results

$g(\Lambda), m(\Lambda) \dots \quad \Lambda : \text{UV cutoff}$

30 e.g., m_{phy}^2 : function of m, g, Λ
% base parameters

35 $m_{\text{phy}}^2 = m_{\text{phy}}^2(m, g, \Lambda)$: a fixed physical quantity.
% indep. of Λ

$\Rightarrow m, g \rightarrow \Lambda$ に対して m_{phy}^2 は一定である。

40 이는 UV cutoff 를 선택하는 coupling field. %
action が何を 의미하는지를 정하는 것을 Wilsonian
approach to renormalization という。

45 Note 알맞은 Λ を RG 차는 2つのスケールの Λ と一致する。

이 경우 $\hat{S}_{\text{eff}}[\hat{t}_n] \approx$ UV cut-off 가 Λ 인 어떤 1-loop action $= S_{\text{eff}}[\hat{t}_n]$

이유는 두 가지. 그리고 이것은 energy scale이 하나의 작은

영역에 국한되는 theory $S[\hat{t}]$ 의 단점인 한계를 제거하는 것이다.

\therefore 그로 generating functional $Z[J]$, 즉 그동안 Green function을
구하기 때문

이는 Wilsonian effective action이다.

cutoff Λ 는 $\Lambda \rightarrow 0$ 에 infinitesimal한 $\Delta\Lambda$ $\equiv \Lambda - d\Lambda$ 로 바뀌어야 한다.

effective action은 $\Delta\Lambda$ 에:

$$\hat{S}_{\text{eff}}^{\Lambda} \rightarrow \hat{S}_{\text{eff}}^{\Lambda - d\Lambda} = \hat{S}_{\text{eff}}^{\Lambda} - d\hat{S}_{\text{eff}}^{\Lambda}$$

이제 $\Delta\Lambda$ 가 Λ 에 비해 S_{eff} 에 미치는 영향을 살펴보자.

$$\Lambda \frac{d\hat{S}_{\text{eff}}^{\Lambda}}{d\Lambda} = F[\hat{S}_{\text{eff}}^{\Lambda}] ; \text{some complicated function.}$$

\uparrow
"Wilsonian RG equation"

(or flow eq., exact RG eq.)

Let's derive $F[S]$.

Note

1. Work in Euclidean space from now on. (Wick rotation)

2. Keep J_H nonzero with which we will get new interpretation
in S_{eff} .

Action = interaction part + free part $\approx 4\pi r$

$$S[\phi] = \frac{1}{2} \int \phi D^{\Lambda_0} \phi + S_{int}^{\Lambda_0} [\phi]$$

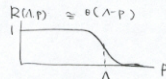
D^{Λ_0} : free propagator with UV cutoff Λ_0

Divide propagator into two part

$$D^{\Lambda_0} = D^\Lambda + D_\Lambda^{\Lambda_0}$$

↓ ↗
low energy high energy
part part.

i.e., $D^\Lambda = \frac{R(\Lambda, p)}{p^2 + m^2}$



$$Z[J] = \int [D\phi_L] [D\phi_R] e^{-\frac{1}{2} \int \phi_L D^\Lambda \phi_L - \frac{1}{2} \int \phi_R D_\Lambda^{\Lambda_0} \phi_R - S_{int}^{\Lambda_0} [\phi_L + \phi_R] + J(\phi_L + \phi_R)}$$

$$= \int [D\phi_L] e^{-\frac{1}{2} \int \phi_L D^\Lambda \phi_L - W^\Lambda[\phi_L, J]}$$

where

$$e^{-W^\Lambda[\phi_L, J]} = \int [D\phi_R] e^{-\frac{1}{2} \int \phi_R D_\Lambda^{\Lambda_0} \phi_R - S_{int}^{\Lambda_0} [\phi_L + \phi_R] + J(\phi_L + \phi_R)}$$

Note if $\phi_L = 0$,

$e^{-W^\Lambda[0, J]}$: generating functional of theory

with both {UV cutoff Λ_0
IR cutoff Λ }

(Notice that the propagator is $D_\Lambda^{\Lambda_0}$)

Change of variable $\phi_H = \phi - \phi_L$

$$-\frac{1}{2} \phi_H D_A^{\Lambda^{-1}} \phi_H = -\frac{1}{2} \phi D_A^{\Lambda^{-1}} \phi - \frac{1}{2} \phi_L D_A^{\Lambda^{-1}} \phi + \phi D_A^{\Lambda^{-1}} \phi_L$$

$$\Rightarrow e^{-W^A[\phi_L, J]} = e^{-\frac{1}{2} \phi_L D_A^{\Lambda^{-1}} \phi_L} \underbrace{\int [D\phi] e^{-\frac{1}{2} \phi D_A^{\Lambda^{-1}} \phi - S_{int}^A[\phi] + (J + D_A^{\Lambda^{-1}} \phi_L) \phi}}_{\tilde{Z}}$$

$$\left(\text{Quadratic term} \right) = -\frac{1}{2} (\phi - \tilde{J} D_A^{\Lambda^{-1}}) D_A^{\Lambda^{-1}} (\phi - D_A^{\Lambda^{-1}} \tilde{J}) + \frac{1}{2} \tilde{J} D_A^{\Lambda^{-1}} \tilde{J}$$

$$-\frac{1}{2} \phi_L D_A^{\Lambda^{-1}} \phi_L = -\frac{1}{2} (\tilde{J} - J) D_A^{\Lambda^{-1}} (\tilde{J} - J)$$

$$= -\frac{1}{2} \tilde{J} D_A^{\Lambda^{-1}} \tilde{J} + J D_A^{\Lambda^{-1}} \tilde{J} - \underbrace{\frac{1}{2} J D_A^{\Lambda^{-1}} J}_{\text{III}}$$

$$\frac{1}{2} J D_A^{\Lambda^{-1}} J + J \phi_L$$

$$\therefore e^{-W^A[\phi_L, J]} = e^{\frac{1}{2} J D_A^{\Lambda^{-1}} J + J \phi_L} \underbrace{e^{-\frac{1}{2} \tilde{J} D_A^{\Lambda^{-1}} \tilde{J}} e^{-S_{int}^A[\frac{\tilde{J}}{D_A^{\Lambda^{-1}} J}]} e^{\frac{1}{2} \tilde{J} D_A^{\Lambda^{-1}} \tilde{J}}}_{\text{III}} \\ S_{int}^A[\phi_L + D_A^{\Lambda^{-1}} J]$$

Then we obtain

$$Z[J] = \int [D\phi_L] e^{-\frac{1}{2} \phi_L D_A^{\Lambda^{-1}} \phi_L - S_{int}^A[\phi_L + D_A^{\Lambda^{-1}} J] + J \phi_L + \frac{1}{2} J D_A^{\Lambda^{-1}} J}$$

$$\text{if } J = J_L \quad (J_H = 0), \Rightarrow D_A^{\Lambda^{-1}} J = 0,$$

$$S_{int}^A[\phi_L + D_A^{\Lambda^{-1}} J] = S_{int}^A[\phi_L]$$

$\therefore S_{int}^A[\phi] \approx W^A[\phi]$ Wilsonian effective action of ϕ .
(interaction part of)

RG equation \approx 구조가 유연한 물질에 대한 정의 $\phi_L = 0$ 일 때 미분방정

$$\frac{d}{d\Lambda} e^{-W^A[\phi, J]} = -\frac{1}{2} \frac{s}{sJ} \left(\frac{d}{d\Lambda} D_A^{\Lambda^{-1}} \right) \frac{s}{sJ} e^{-W^A[\phi, J]}$$

22.11

$$W^A[\phi, J] = \frac{1}{2} \int D_A^{\Lambda_0} J + J \phi + S_{\text{int}}^A[\phi, D_A^{\Lambda_0}] \quad \dots \textcircled{2}$$

이므로 이 미분방정식은 S_{int}^A 의 미분방정식과 같다.

$$\frac{dS_{\text{int}}^A}{d\Lambda}[\phi] = -\frac{1}{2} \int \frac{d\phi_p}{(2\pi)^4} \frac{dD_A^{\Lambda}(p)}{d\Lambda} \left[\frac{\delta^2 S_{\text{int}}^A}{\delta\phi(p) \delta\phi(p)} - \frac{\delta S_{\text{int}}^A}{\delta\phi(p)} \frac{\delta S_{\text{int}}^A}{\delta D_A^{\Lambda}(p)} \right]$$

Wilsonian RGE : exact equation

(Exact)

! exercise

Is there any simple connection of Wilsonian effective action
with conventional QFT quantities?

From $\textcircled{2}$,

$$W^A[\phi, J] = \frac{1}{2} \int D_A^{\Lambda_0} J + S_{\text{int}}^A[D_A^{\Lambda_0}]$$

Generating functional
of connected Green fns
with IR cutoff Λ

Wilsonian effective action
with UV cutoff Λ

$$\frac{\delta^n S_{\text{int}}^A[\phi]}{\delta\phi(p_1) \dots \delta\phi(p_n)} \Big|_{\phi=0} = \underbrace{\prod_{i=1}^n D_A^{\Lambda_0-1}(p_i)}_{\text{Amputated}} \frac{\delta^n W^A[J]}{\delta J(p_1) \dots \delta J(p_n)} \Big|_{J=0}, \quad n \geq 2$$

여기서 Wilsonian effective action은 정의되지 않은 것 같다.

(i) low-energy effective action with UV cutoff Λ

(ii) Generating fnl of amputated connected Green fn with IR cutoff Λ
(\hookrightarrow 양자场论 QFT framework에서 정의되는 것)

\therefore Wilsonian effective action은 Λ 에 대해 물리적 Green
function은 정의되는 것 같다.

Expand S^{\wedge} in terms of (infinitely many) local operators

$$S^{\wedge} = \sum_i d^4 g_i O_i$$

$O_i : (\partial\phi)^2, \phi^4, \phi^6 (\partial^2\phi)^2 + \dots$

"coupling constants"

From exact RG E, we can obtain equations for coupling const. g_i . (\Rightarrow connection to ordinary RG eq.)

e.g. Scheme independence of p -fun : exercise.

Infinitely many term in S^{\wedge} .

\Rightarrow which terms are important?

Count dimensions!

operator O_i : dimension of δ_i , $i=1, 2, \dots$ ($[O_i] = \delta_i$)

$$\left. \begin{array}{l} \text{e.g. } [\phi]=1 \Rightarrow [(\partial^m \phi^n)] = m-n \\ \end{array} \right\}$$

actions: dimensionless δ_i ($[g_i] = 4 - \delta_i$)

\Rightarrow Define dimensionless coupling λ_i by writing

$$g_i = \lambda_i \Lambda^{4-\delta_i} .$$

$$\Rightarrow S^{\wedge} = \sum_i \lambda_i \Lambda^{4-\delta_i} \int d^4 O_i$$

where Λ is largest scale of characteristic scale of λ_i

\approx size of system, energy scale of E in process

\approx mass of momenta $O_i \approx E^{\delta_i}$ at scales near Λ

$$g_i \int d^4 O_i \sim \lambda_i \underbrace{\left(\frac{E}{\Lambda} \right)^{\delta_i - 4}}$$

\approx UV cutoff $\approx \Lambda$ and $\int d^4 O_i$ terms \approx infrared effects ≈ 1 .

$\delta_i > 4 \Rightarrow$ low energy process (즉, E가 작아질 수록) 더 중요해진다.

"Irrelevant" \leftrightarrow nonrenormalizable

$\delta_i = 4 \Rightarrow$ "marginal" \leftrightarrow renormalizable

$\delta_i < 4 \Rightarrow$ "relevant" \leftrightarrow superrenormalizable

Wilsonian picture에서 Nonrenormalizable term은
low energy process 물리학으로 중요한 역할을 할 수 있다.

Action S는 주어지는 대로 이론이 initial UV cutoff Λ_0 에서서는
발달이 어렵거나 차가. 그때문에 위의 analysis를 말하는 바는 S에
nonrenormalizable term들이 들어있을 때 Λ_0 보다 작은 주된 energy scales
process에 대한 거리 조정을 주기 때문이다. 이를 달리 말하면,
low energy process를 기술하는데는 (super-) renormalizable
term들로 충분하다는 뜻이다. 바로 예를 QED+QCD 같은
자연을 기술하는 미분이 거의 모든 renormalizable theory의 경우
를 설명해준다.

Note

1. nonrenormalizable term이 중요한 역할은 %다.

예를 들어 대칭 (e.g. symmetry) renormalizable term은 주로
결과까지 않는 경우. 예를 들면 weak interaction의 low
energy effective theory의 Fermi theory

2. diagram을 계산해보니 어떤 nonrenormalizable term은 매우
UV cutoff Λ_0 의 positive power contribution이 있는 경우도 있다.
그러나 이런 경우는 모든 renormalizable terms의 coefficients
나타는 액션을 잘 묘사해

3. conventional QFT view: nonrenormalizable term $\frac{1}{2} m^2 \phi^2$

effective theory view: (super) renormalizable term $\frac{1}{2} m^2 \phi^2$

e.g. mass term

(natural mass) \sim UV cutoff scale

단위 척도는 cutoff가 되는 scale

이제는 바꾸기 훨씬 어렵지만 UV cutoff가

여기 같은 mass는 초기 simple bare parameter

여기에서 초기 scale은 scale

\rightarrow "fine tuning problem"

$$m_{\text{phy}}^2 = m^2 + \delta m^2 \quad \xrightarrow{\text{contains } \Lambda^2 \text{ term}}$$

이 둘의 차이가 Λ^2 에 비례하는
여기 같은 양은 반드시 scale

4. Effective theories at low energy: 어떤 이론이든 매우 높은 energy까지

다 맞는 게 아니고 저번처럼 영역에서만 적용되며 만드는 정복도는

가지고 있고 그때는 정복도는 높아지지 않아 정복도는 높아지지 않아

Actional irrelevant (i.e. nonrenormalizable) terms는 많아야

한다. 예를 들어 ϕ^4 theory는 $\left(\frac{m}{\Lambda}\right)^2$ 의 차이로 구별하여 가능하게

못하며 정복도는 높아지면 ϕ^6 은 dimension 6 operator를 고려해야 한다

5. 예전에 전장이 매우 강한 field (M)과 가벼운 field (m)은 서로

앞을 끌어 놓을 시너지 영역에서 가능하나 일정한 혼성에는 빠져도

일자는 거의 영향을 주지 않는다. 즉, 두 개를 살피면 혼성에서는 대체로

양으로 가벼운 양과 같은데 이를 두 번째로 만들 수 있다. ("decoupling theorem")

String theory는 높은 Λ Newtonian으로 영역에서 가능하지 않는 경우
high energy process에서는 high energy의 경우 Λ 가 높을 수